

Entrée et sortie: Système Laser Reflective LRS18a

Données de couleurs périphériques (d)
ou élémentaires (e):

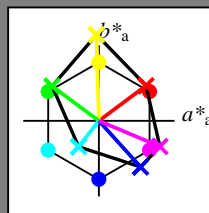
HIC^*

code de teinte pour les cou-
leurs de cette page:

$H^*_ = R00Y_ , R25Y_ , ..., B75R_$

ORS20a; données CIELAB (a) adaptées

$H^*_$	$L^*=L^*_a a^*_a$	b^*_a	$C^*_{ab,a}$	$h^*_{ab,a}$
R00Y_100_100_	48.4	66.1	40.2	77.3
R25Y_100_100_	56.8	48.0	50.5	69.6
R50Y_100_100_	68.6	25.0	63.9	68.6
R75Y_100_100_	80.6	4.8	77.2	77.3
Y00G_100_100_	90.2	-9.6	88.2	88.7
Y25G_100_100_	83.2	-18.4	79.9	81.9
Y50G_100_100_	73.3	-31.7	62.7	70.2
Y75G_100_100_	62.0	-49.7	43.2	65.8
G00B_100_100_	55.8	-65.2	33.8	73.4
G25B_100_100_	59.3	-50.3	-9.0	51.0
G50B_100_100_	63.0	-30.5	-42.0	51.9
G75B_100_100_	45.7	-5.7	-44.6	44.9
B00R_100_100_	27.5	25.9	-47.3	53.9
B25R_100_100_	38.3	52.6	-28.5	59.8
B50R_100_100_	49.5	73.5	-9.0	74.0
B75R_100_100_	48.9	69.3	12.9	70.4



%Gamme

$u^*_{rel} = 114$

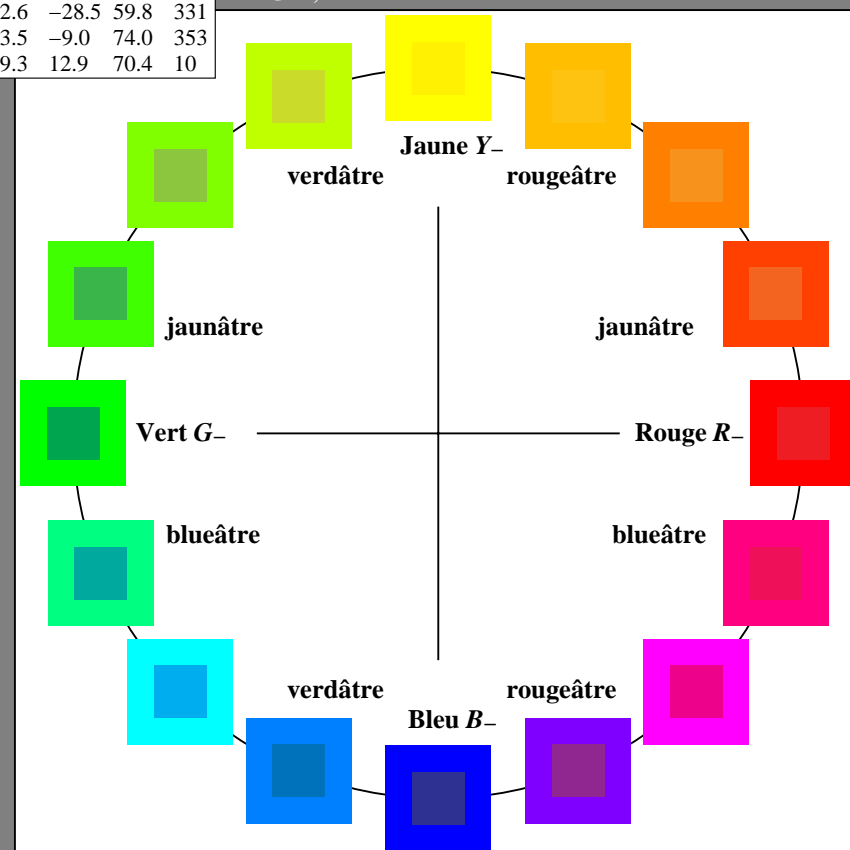
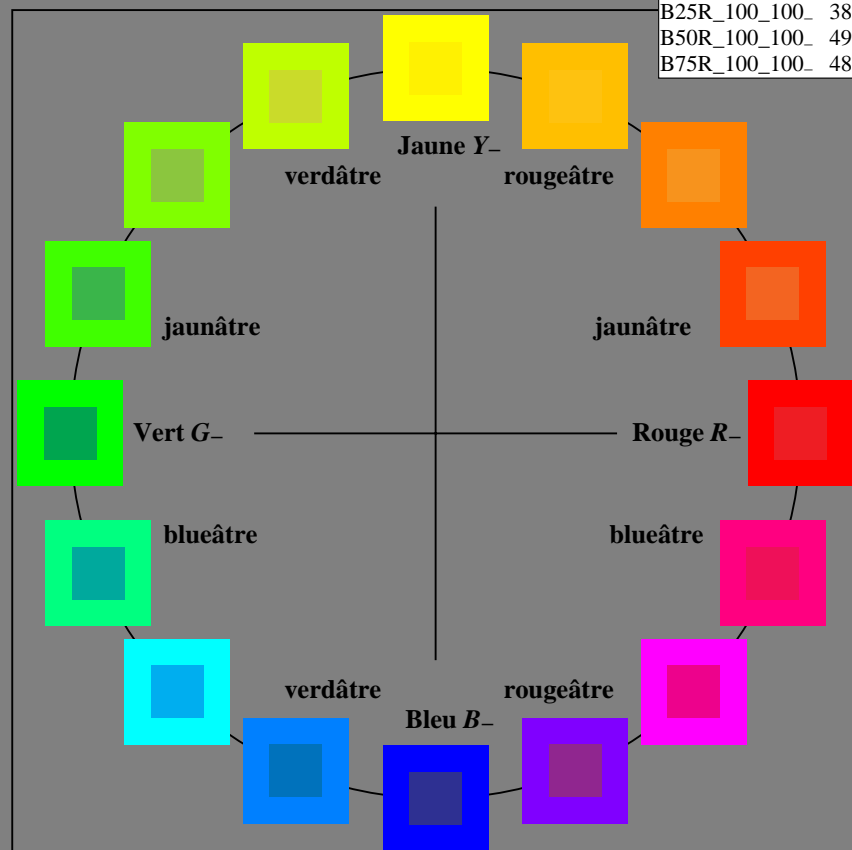
%Régularité

$g^*_{H,rel} = 28$

$g^*_{C,rel} = 38$

LRS18a; données CIELAB (a) adaptées

nom	$L^*=L^*_a a^*_a$	b^*_a	$C^*_{ab,a}$	$h^*_{ab,a}$
R_.,Ma	32.5	62.3	46.4	77.7
Y_.,Ma	82.7	-3.1	113.9	114.0
G_.,Ma	39.4	-61.8	45.8	76.9
C_.,Ma	47.8	-26.8	-34.2	43.4
B_.,Ma	10.1	55.1	-61.0	82.2
M_.,Ma	34.5	80.6	-33.9	87.5
N_.,Ma	6.2	0.0	0.0	0.0
W_.,Ma	91.9	0.0	0.0	0.0
R_.,CIE	39.9	58.7	27.9	65.0
Y_.,CIE	81.2	-2.8	71.5	71.6
G_.,CIE	52.2	-42.4	13.6	44.5
B_.,CIE	30.5	1.4	-46.4	46.4



RF800-7N_RGB 3-003034-L0

graphique TUB-RF80; cercle de teinte, 16 étapes, $cf=1$
graphique conforme à DIN 33872

entrée : $rgb/cmyk \rightarrow rgb/cmyk$
sortie : aucun changement

Entrée et sortie: Système Laser Reflective LRS18a

Données de couleurs périphériques (d)
ou élémentaires (e):

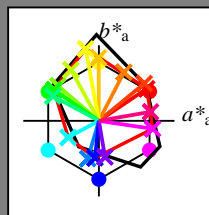
HIC^*_d

code de teinte pour les cou-
leurs de cette page:

$H^*_d = R00Y_d, R25Y_d, ..., B75R_d$

LRS18a; données CIELAB (a) adaptées

H^*_d	$L^*=L^*_a\ a^*_a$	b^*_a	$C^*_{ab,a}$	$h^*_{ab,a}$	
R00Y_100_100_d	48.1	63.3	42.5	76.2	33
R25Y_100_100_d	49.7	60.1	49.4	77.8	39
R50Y_100_100_d	63.4	33.2	64.3	72.4	62
R75Y_100_100_d	82.3	-0.3	83.5	83.5	90
Y00G_100_100_d	92.8	-17.5	95.2	96.8	100
Y25G_100_100_d	75.6	-36.7	67.3	76.7	118
Y50G_100_100_d	61.7	-53.9	46.2	71.0	139
Y75G_100_100_d	58.6	-59.0	41.0	71.9	145
G00B_100_100_d	58.5	-59.5	40.8	72.2	145
G25B_100_100_d	57.1	-60.7	32.7	68.9	151
G50B_100_100_d	57.0	-40.5	-21.8	46.1	208
G75B_100_100_d	47.1	-14.6	-50.0	52.1	253
B00R_100_100_d	41.5	-5.0	-49.0	49.2	264
B25R_100_100_d	36.4	8.1	-47.9	48.5	279
B50R_100_100_d	50.1	71.1	-10.5	71.8	351
B75R_100_100_d	48.3	68.4	11.9	69.5	9



%Gamme

$u^*_{rel} = 114$

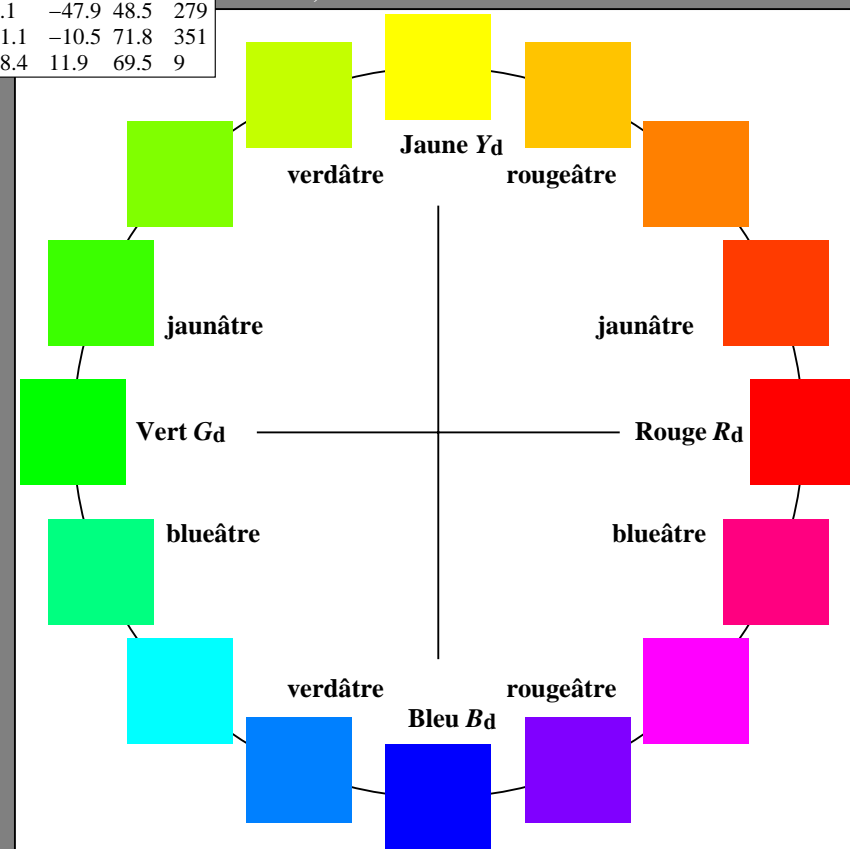
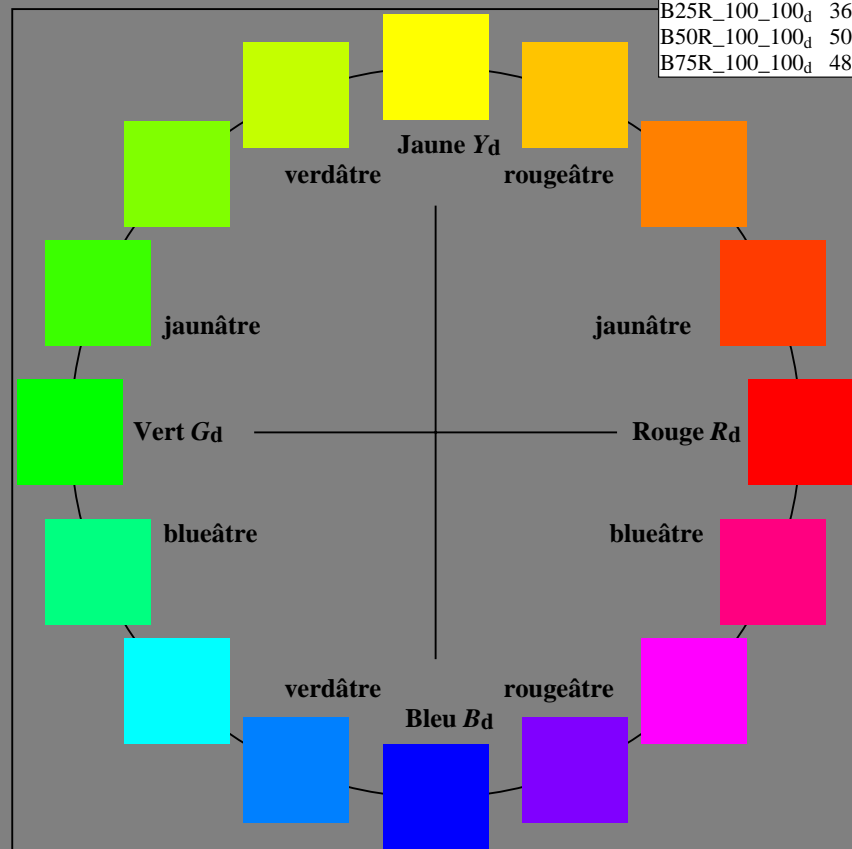
%Régularité

$g^*_{H,rel} = 28$

$g^*_{C,rel} = 38$

LRS18a; données CIELAB (a) adaptées

nom	$L^*=L^*_a$	a^*_a	b^*_a	$C^*_{ab,a}$	$h^*_{ab,a}$
R _{d, Ma}	48.1	63.3	42.5	76.2	33
Y _{d, Ma}	92.8	-17.5	95.2	96.8	100
G _{d, Ma}	58.5	-59.5	40.8	72.2	145
C _{d, Ma}	57.0	-40.5	-21.8	46.1	208
B _{d, Ma}	41.5	-5.0	-49.0	49.2	264
M _{d, Ma}	50.1	71.1	-10.5	71.8	351
N _{d, Ma}	15.7	0.0	0.0	0.0	0
W _{d, Ma}	96.3	0.0	0.0	0.0	0
R _{d, CIE}	39.9	58.7	27.9	65.0	25
Y _{d, CIE}	81.2	-2.8	71.5	71.6	92
G _{d, CIE}	52.2	-42.4	13.6	44.5	162
B _{d, CIE}	30.5	1.4	-46.4	46.4	271



graphique TUB-RF80; cercle de teinte, 16 étapes, $cf=1$
graphique conforme à DIN 33872, 3D=0, de=0, rgb

entrée : $rgb/cmyk \rightarrow rgb_d$
sortie : transférer à rgb_d

Entrée et sortie: Système Laser Reflective LRS18a

Données de couleurs périphériques (d)
ou élémentaires (e):

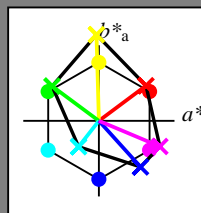
HIC^*

code de teinte pour les cou-
leurs de cette page:

$H^*_ = R00Y_ , R25Y_ , ..., B75R_$

ORS20a; données CIELAB (a) adaptées

$H^*_$	$L^*=L^*_a a^*_a$	b^*_a	$C^*_{ab,a}$	$h^*_{ab,a}$
R00Y_100_100_	48.4	66.1	40.2	77.3
R25Y_100_100_	56.8	48.0	50.5	69.6
R50Y_100_100_	68.6	25.0	63.9	68.6
R75Y_100_100_	80.6	4.8	77.2	77.3
Y00G_100_100_	90.2	-9.6	88.2	88.7
Y25G_100_100_	83.2	-18.4	79.9	81.9
Y50G_100_100_	73.3	-31.7	62.7	70.2
Y75G_100_100_	62.0	-49.7	43.2	65.8
G00B_100_100_	55.8	-65.2	33.8	73.4
G25B_100_100_	59.3	-50.3	-9.0	51.0
G50B_100_100_	63.0	-30.5	-42.0	51.9
G75B_100_100_	45.7	-5.7	-44.6	44.9
B00R_100_100_	27.5	25.9	-47.3	53.9
B25R_100_100_	38.3	52.6	-28.5	59.8
B50R_100_100_	49.5	73.5	-9.0	74.0
B75R_100_100_	48.9	69.3	12.9	70.4



%Gamme

$u^*_{rel} = 114$

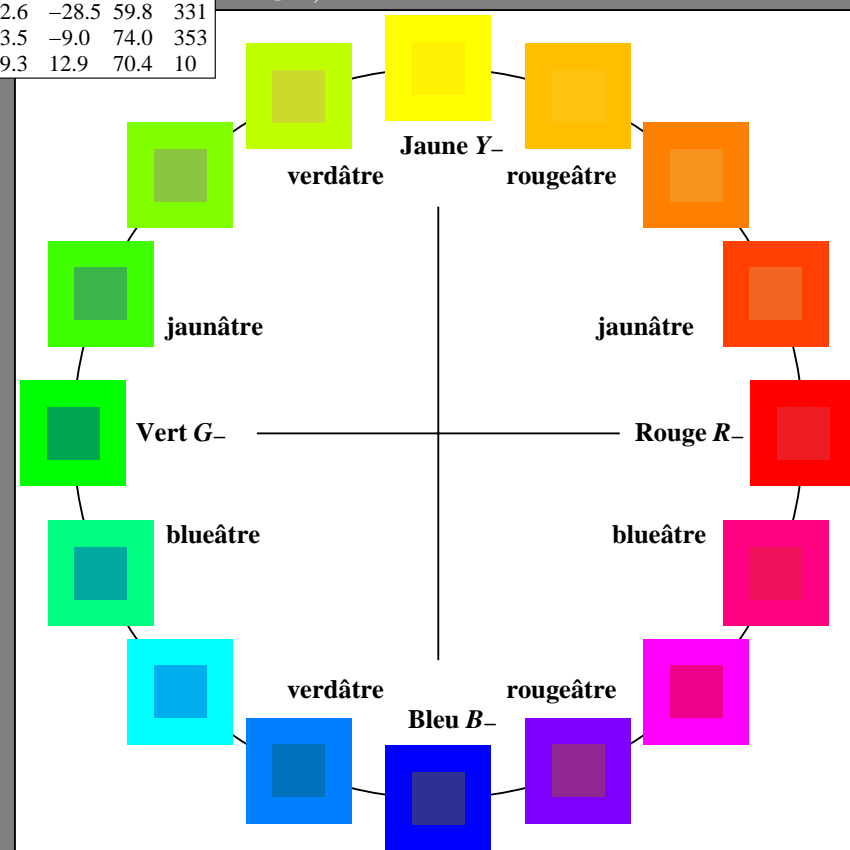
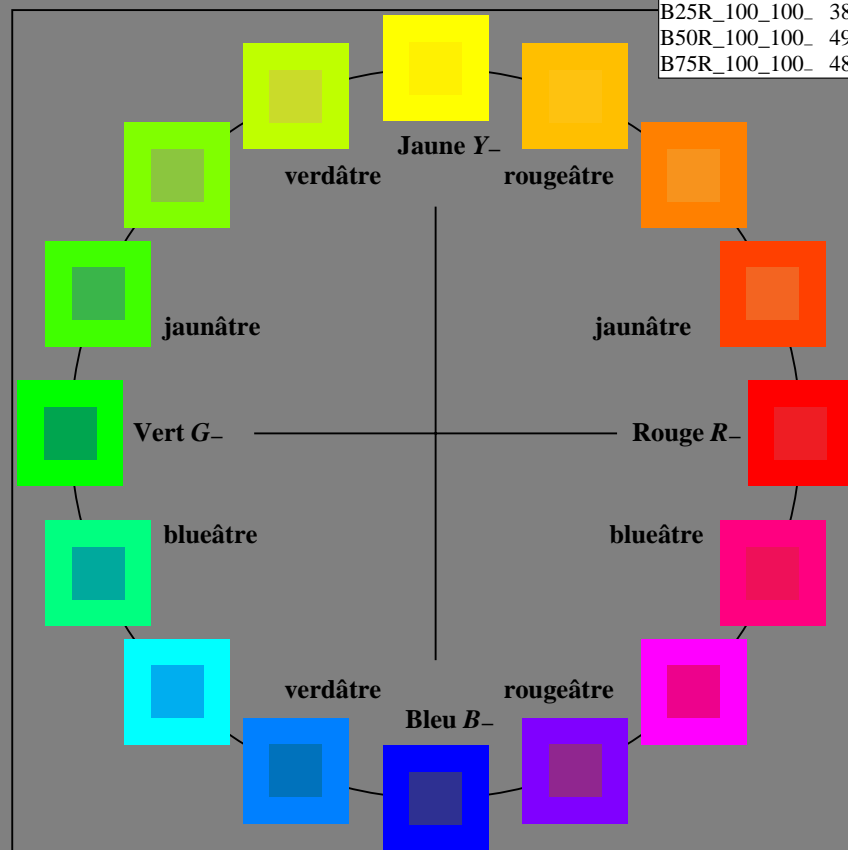
%Régularité

$g^*_{H,rel} = 28$

$g^*_{C,rel} = 38$

LRS18a; données CIELAB (a) adaptées

nom	$L^*=L^*_a a^*_a$	b^*_a	$C^*_{ab,a}$	$h^*_{ab,a}$
R_.,Ma	32.5	62.3	46.4	77.7
Y_.,Ma	82.7	-3.1	113.9	114.0
G_.,Ma	39.4	-61.8	45.8	76.9
C_.,Ma	47.8	-26.8	-34.2	43.4
B_.,Ma	10.1	55.1	-61.0	82.2
M_.,Ma	34.5	80.6	-33.9	87.5
N_.,Ma	6.2	0.0	0.0	0.0
W_.,Ma	91.9	0.0	0.0	0.0
R_.,CIE	39.9	58.7	27.9	65.0
Y_.,CIE	81.2	-2.8	71.5	71.6
G_.,CIE	52.2	-42.4	13.6	44.5
B_.,CIE	30.5	1.4	-46.4	46.4



RF800-7N_RGB 3-013034-L0

graphique TUB-RF80; cercle de teinte, 16 étapes, $cf=1$
graphique conforme à DIN 33872

entrée : $rgb/cmyk \rightarrow rgb/cmyk$
sortie : aucun changement

Entrée et sortie: Système Laser Reflective LRS18a

Données de couleurs périphériques (d)
ou élémentaires (e):

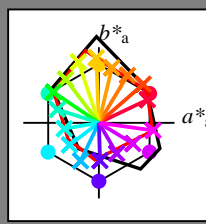
HIC^*_e

code de teinte pour les cou-
leurs de cette page:

$H^*_e = R00Y_e, R25Y_e, ..., B75R_e$

LRS18a; données CIELAB (a) adaptées

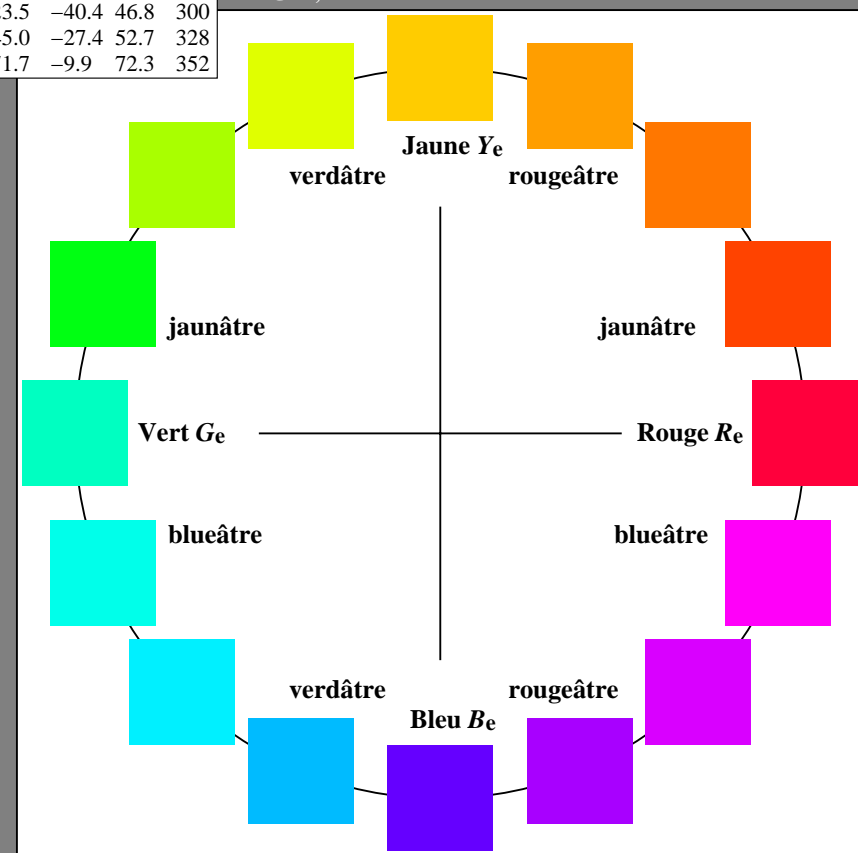
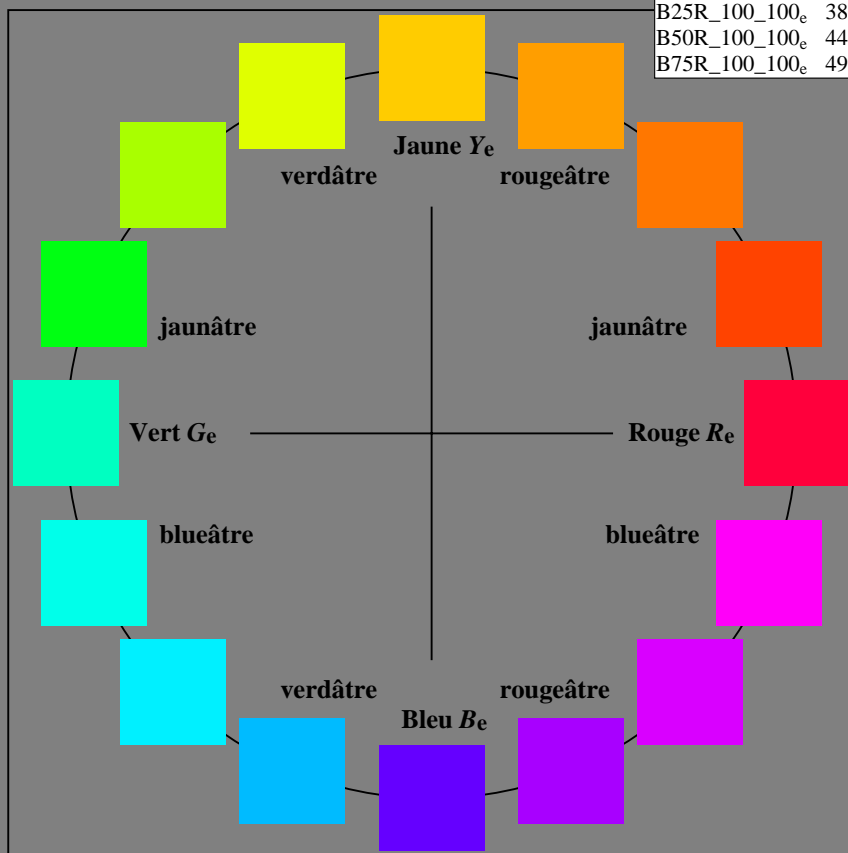
H^*_e	$L^*=L^*_a a^*_a$	b^*_a	$C^*_{ab,a}$	$h^*_{ab,a}$
R00Y_100_100_e	48.3	64.2	30.6	71.1
R25Y_100_100_e	50.5	58.6	51.1	77.8
R50Y_100_100_e	61.1	37.8	62.8	73.3
R75Y_100_100_e	72.1	17.1	72.8	74.8
Y00G_100_100_e	84.3	-3.4	85.8	85.9
Y25G_100_100_e	84.0	-27.1	80.6	85.0
Y50G_100_100_e	69.4	-43.7	57.5	72.3
Y75G_100_100_e	58.2	-60.0	40.6	72.5
G00B_100_100_e	58.4	-54.9	17.6	57.7
G25B_100_100_e	59.0	-45.6	-7.7	46.3
G50B_100_100_e	55.3	-38.8	-29.2	48.5
G75B_100_100_e	52.2	-24.1	-50.2	55.7
B00R_100_100_e	38.0	1.5	-49.8	49.8
B25R_100_100_e	38.4	23.5	-40.4	46.8
B50R_100_100_e	44.8	45.0	-27.4	52.7
B75R_100_100_e	49.8	71.7	-9.9	72.3



%Gamme
 $u^*_{rel} = 114$
%Régularité
 $g^*_{H,rel} = 28$
 $g^*_{C,rel} = 38$

LRS18a; données CIELAB (a) adaptées

nom	$L^*=L^*_a a^*_a$	b^*_a	$C^*_{ab,a}$	$h^*_{ab,a}$
R_e, Ma	48.3	64.2	30.6	71.1
Y_e, Ma	84.3	-3.4	85.8	85.9
G_e, Ma	58.4	-54.9	17.6	57.7
C_e, Ma	55.3	-38.8	-29.2	48.5
B_e, Ma	38.0	1.5	-49.8	49.8
M_e, Ma	44.8	45.0	-27.4	52.7
N_e, Ma	15.7	0.0	0.0	0.0
W_e, Ma	96.3	0.0	0.0	0.0
R_e, CIE	39.9	58.7	27.9	65.0
Y_e, CIE	81.2	-2.8	71.5	71.6
G_e, CIE	52.2	-42.4	13.6	44.5
B_e, CIE	30.5	1.4	-46.4	46.4



voir fichiers similaires: <http://130.149.60.45/~farbmetrik/RF80/RF80LONA.TXT> / .PS
informations techniques: <http://www.ps.bam.de> ou <http://130.149.60.45/~farbmetrik>

TUB enregistrement: 20150701-RF80/RF80LONA.TXT /.PS
application pour la mesure des sorties sur imprimante laser, aucune séparation rgb (RGB)
TUB matériel: code=rh4ta